

ПОВЕРХНОСТНАЯ *B*, *V*-ФОТОМЕТРИЯ КОЛЬЦЕОБРАЗНОЙ ГАЛАКТИКИ Мкн 705

И. П. Костюк, А. С. Амирханян

Получены фотометрические разрезы в *B*, *V*-лучах вдоль большой и малой осей кольцеобразной сейфертовской галактики Мкн 705. Галактика имеет голубое ядро и голубую кольцевую деталь. Приводится сравнение с объектом Хога, который морфологически очень похож на Мкн 705.

The *B*, *V* photometric profiles along major and minor axes of the ring-like Seyfert galaxy Mkn 705 are received. The galaxy has a blue nuclei and a blue ring component. A comparison is made with the Hoag object which has the related morphological structure.

Галактика Маркарян 705 входит в список кольцеобразных галактик, составленный одним из авторов под номером 45 [1]. Она содержится также в каталоге Аракеляна [2] с номером 202 и VIII списке компактных галактик Цвики и др. [3] с номером 47. В списке [1] эта галактика относится к типу RS (кольцевая деталь образована спиральной структурой). Маркарян и Липовецкий [4] отнесли ее к галактикам с ультрафиолетовым континуумом. В работах [5—8] указывается на наличие у Мкн 705 ядра типа Sy 1. Ее лучевая скорость $v_0 = 8300$ км/с и соответствующее расстояние — 111 Мпк при постоянной Хаббла $H = 75$ км/(с·Мпк⁻¹). Большая ось галактики имеет размер ~ 25 кпк на уровне средней поверхностной яркости с квадратной секунды дуги $\mu_B = 25$. Сжатие равно 0.74. Галактическое поглощение, вычисленное по формулам из работы [9], составляет $A_B = 0.^m07$, $A_V = 0.^m05$. Абсолютная звездная величина галактики, определенная из электрофотометрических наблюдений в 37"-диафрагме, $\mu_B = -20.8$.

При визуальном просмотре изображений галактики на картах Паломарского обзора неба и наших негативов с 2.6-метрового телескопа БАО АН АрмССР (ЗТА) можно выделить две основные структурные детали: четко выраженную звездообразную центральную область и без видимого соприкосновения с ней кольцевую деталь. В кольце не заметна клочковатая структура. На синей карте Паломарского обзора внешняя деталь представляется как два спиральных рукава, замыкающихся в кольцо, но их внутренние области почти не видны. Подобные объекты, но без сейфертовских признаков, встречаются среди типа RS. На расстоянии 10' от галактики расположен центр скопления А 803 (класс богатства O). Галактик с подобными видимыми звездными величинами или размерами в ближайших окрестностях нет.

Два снимка в *B*, *V*-лучах были получены весной 1981 г. в прямом фокусе ЗТА. При наблюдениях качество изображения составляло $\sim 3''$. Для *V*-цвета использовалась комбинация пластинки 103а-D и фильтра GG14, для *B*-цвета — пластиинки ZU-21 и фильтра GG13. Обработка выполнялась на фотометрическом комплексе САО АН СССР (программа А. А. Назаренко). Галактика сканировалась вдоль большой и малой осей диафрагмой 0.02×0.02 мм (1 мм на негативах соответствует $21''.4$) с шагом 0.01 или 0.02 мм с последующим усреднением, различным для ее внутренних и внешних частей. Для внутренних частей ($\mu_B < 21.5$) эффективная диафрагма равнялась 0.03×0.03 мм, а для внешних частей — 0.2×0.2 мм. Размер диафрагмы подбирался эмпирически так, чтобы не было большого шума на фотометрических разрезах.

Переход к интенсивностям осуществлялся по маркам трубчатого фотометра, впечатанного на той же пластинке, что и галактика. Для фотометриче-

ской привязки использовались данные электрофотометрических наблюдений с круглой диафрагмой $37''$ [10]: $B = 14^m52$, $B - V = 0^m52$, для чего галактика

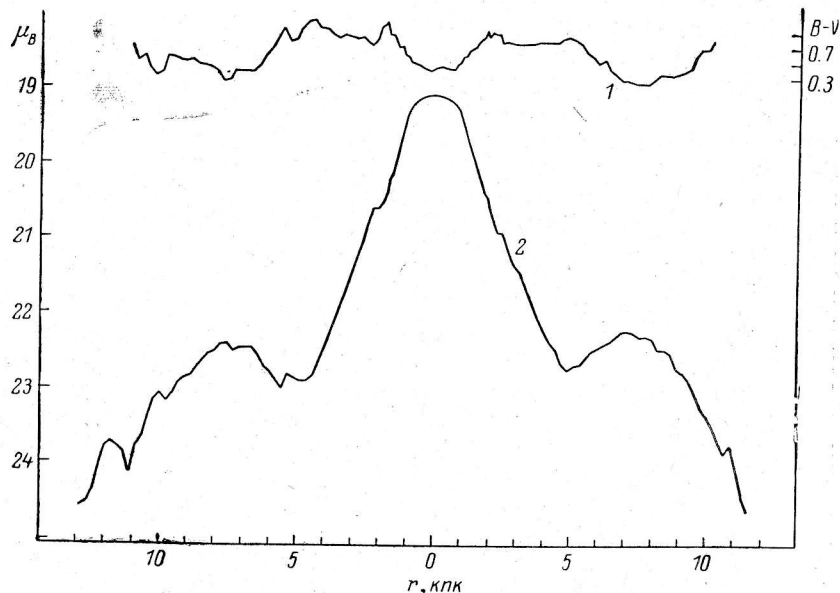


Рис. 1. Распределение B -яркостей (2) и показателей цвета $B - V$ (1) вдоль большой оси галактики Мкн 705.

По оси абсцисс — расстояние от центра галактики ($1''$ на негативе соответствует 0.55 кпк). По осям ординат: слева — поверхностные B -яркости в звездных величинах с квадратной секунды дуги, справа — показатели цвета $B - V$ в звездных величинах.

сканировалась сплошным образом с эффективной диафрагмой 0.1×0.1 мм. Переход к стандартным B , V -цветам осуществлялся по формулам из ра-

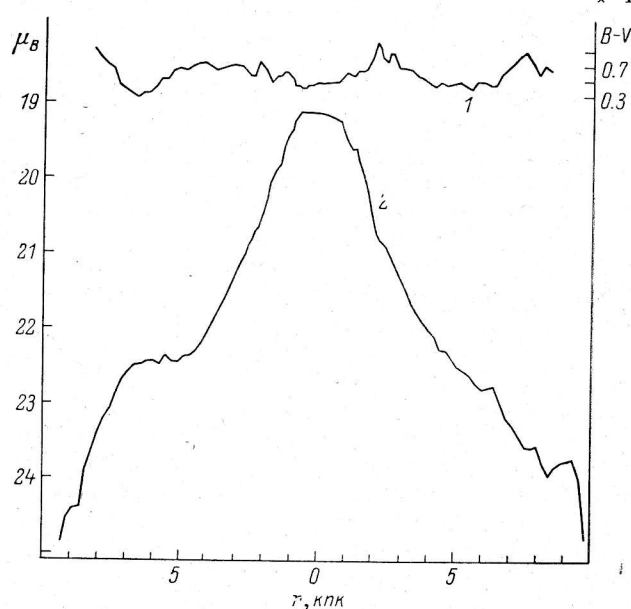


Рис. 2. Распределение B -яркостей (2) и показателей цвета $B - V$ (1) вдоль малой оси галактики Мкн 705.

боты [11]. Отметим, что использованные нами комбинации пластинок и фильтров не совпадают с приведенными в [11], но близки к ним. Поправки к инструментальным B и $B - V$ не превышают 0^m05 . Фон неба вблизи галактики

составляет $\mu_B = 20.6$, $\mu_V = 19.9$ (при наблюдениях объект находился в южной половине неба).

На рис. 1 и 2 представлены распределения поверхностной B -яркости и показателей цвета $B-V$ вдоль большой и малой осей галактики. На разрезе вдоль большой оси (рис. 1) хорошо видна кольцеобразная деталь. В цвете $B-V$ она значительно голубее соседних частей галактики. Ее ширина составляет приблизительно половину радиуса галактики (~ 5 кпк). Вдоль малой оси картина получается менее выразительная из-за масштаба сглаживания. Распределения B -яркостей вдоль большой и малой осей до $r \approx 3.5$ кпк практически совпадают, и изофоты здесь имеют почти круглую форму. По-видимому, эта часть галактики имеет сферическую форму. Средняя поверхностная яркость центральной части галактики ($r \leq 2.5$ кпк) $\mu_B = 19.2$. На основе наших данных мы

сделали попытку выделить сфериодальную и экспоненциальную составляющие. При этом предполагалось, что в центре галактики преобладает сфериодальная составляющая, распределение интенсивности в которой подчиняется закону де Вокулера:

$$\lg \frac{I}{I_0} = -3.33 \left[\left(\frac{r}{r_0} \right)^{1/4} - 1 \right].$$

На рис. 3 представлено распределение B -яркости вдоль большой оси в зависимости от $r^{1/4}$. Видно, что до $r \approx 2$ кпк $I \sim r^{1/4}$. Вдоль малой оси из-за сильного

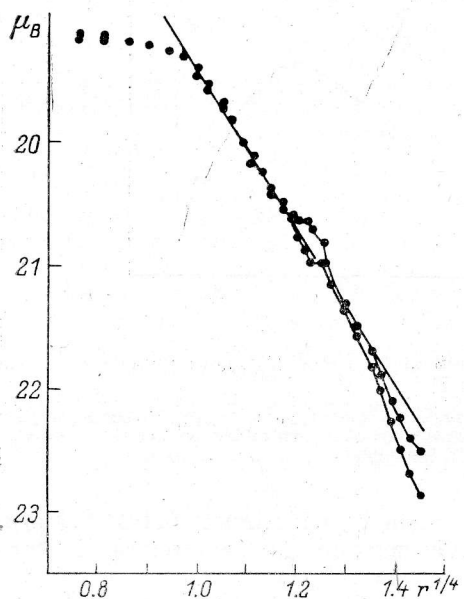


Рис. 3. Распределение B -яркостей в звездных величинах с квадратной секунды дуги вдоль больших полуосей галактики Мкн 705 в зависимости от $r^{1/4}$.

Прямая линия на рисунке соответствует распределению по закону де Вокулера.

сглаживания сфериод выделить невозможно. Параметр r_0 получается равным ~ 2 кпк, т. е. сфериодальная составляющая выделяется только на одном масштабе длины, что свидетельствует о неуверенном ее выделении. И действительно, на рис. 2 в этой же области можно провести и экспоненциальную зависимость. Экстраполируемое сфериодальное распределение (рис. 3) для $r > 2$ кпк превышает наблюдаемое. Таким образом, это или сфериод с внешней границей, или отдельная деталь размером ~ 5 кпк. Возможно, это внутренняя линза, которая наблюдается у некоторых нормальных галактик [12], но из-за наличия сейфертовского ядра ее средняя поверхностная яркость выше. Из распределения цвета $B-V$ вдоль большой оси (рис. 1), можно предположить, что в интервале радиусов 2.5–5 кпк располагается диск. Как и сфериодальная составляющая, диск определяется на единичном масштабе длины, что указывает на невозможность уверенно найти его параметры.

В работе [13] приводится описание кольцеобразной галактики 101 [1], известной под названием объекта Хога. Структура объекта очень похожа на структуру Мкн 705, но у ядра отсутствуют сейфертовские признаки. Вблизи нее, как и в случае Мкн 705, нет соседей с близкими видимыми звездными величинами и размерами. Кольцевая деталь у обеих галактик голубая ($B-V \approx 0.3 \pm 0.7$). Средние поверхностные яркости центральной области Мкн 705 и этого объекта соответственно равны $\mu_V = 18.7$ и 19.8 . Абсолютные звездные величины галактик близки ($\mu_V \approx -21.3$). В случае объекта Хога вклад кольца в общую светимость галактики больше, чем центральной области, а в случае Мкн 705 — наоборот. Средние поверхностные яркости колец приблизительно одинаковы, но объект Хога в 1.5 раза больше по линейным размерам, чем Мкн 705.

Авторы выражают благодарность С. И. Неизвестному за предоставление неопубликованных наблюдений Мкн 705, О. М. Неизвестной — за помощь при обработке негативов.

Литература

1. К о стюк И. П. Список кольцеобразных галактик. — Сообщ. САО, 1975, 13, с. 45—62.
2. А ракелян М. А. Галактики высокой поверхностной яркости. — Сообщ. БАО, 1975, 47, с. 3—42.
3. Zwicky F., Sargent W. L. W., Kowal C. T. Eight lists of compact galaxies. — Astron. J., 1975, 80, N 8, p. 545—558.
4. Маркарян Б. Е., Липовецкий В. Е. Галактики с ультрафиолетовым континуумом. VIII. — Астрофизика, 1976, 12, вып. 3, с. 389—396.
5. Osterbrock D. E. Spectra of additional Arakelian Galaxies. — PASP, 1977, 89, N 531, p. 620.
6. Денисюк Э. К., Липовецкий В. А. 18 новых объектов с широкими эмиссионными линиями из VIII и IX списков галактик Маркаряна. — Письма в АЖ, 1977, 3, № 1, с. 7—8.
7. К о стюк И. П., Каракециев И. Д., Копылов А. И. Лучевые скорости кольцеобразных галактик. — Письма в АЖ, 1981, 7, № 5, с. 267—268.
8. Emission line widths in Galactic nuclei / F. R. Feldman, D. W. Weedman, V. A. Bazzano, L. W. Ramsey. — Astrophys. J., 1982, 256, p. 427—434.
9. Sandage A. The redshift-distance relation. V. — Astrophys. J., 1973, 183, p. 711—730.
10. Н еизвестный С. И. Частное сообщение.
11. Амирханян А. С., Попов И. И. Исследование фотометрической системы 2.6-метрового телескопа Бюреканской астрофизической обсерватории. — Сообщ. БАО, 1979, 52, с. 89—90.
12. Kormendy J. A morphological survey of bar, lens, and ring components in galaxies: Secular evolution in galaxy structure. — Astrophys. J., 1979, 227, p. 714—728.
13. O'Connell R. W., Scargle J. D., Sargent W. L. W. The nature of Hoag's object. — Astrophys. J., 1974, 191, N 1, p. 61—62.

Поступила в редакцию 3 мая 1983 г.